

диусами их изгибов или расстояниями между соседними проводами, можно считать, что структура токов и ближнего магн. поля такая же, как и для прямого провода того же сечения (подобные проводники наз. квазилинейными). В приближении заданной структуры токов, не зависящей от способа их возбуждения, И. определяется только геометрией проводящей цепи (толщиной и длиной проводов и их формой). Для квазилинейного провода кругового сечения  $L_i = (\mu_0/8\pi)\mu_i l$  ( $l$  — длина провода,  $\mu_i$  — магн. проницаемость проводника), а внешняя И. может быть представлена как индуктивность взаимная двух параллельных бесконечно тонких проводящих нитей, одна из к-рых ( $l_1$ ) совпадает с осевой линией проводника, а другая ( $l_2$ ) совмещена с его поверхностью:

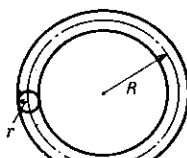
$$L_e = \frac{\mu_0 \mu_e}{4\pi} \oint_{l_1} \oint_{l_2} \frac{dl_1 dl_2}{|r_1 - r_2|}, \quad (4)$$

где  $r_1, r_2$  — радиус-векторы точек на контурах  $l_1, l_2$ ,  $\mu_e$  — магн. проницаемость окружающей среды [для аналогич. соотношений в системе СГС  $L \rightarrow (\mu_0/4\pi)\mathcal{L}$ ]. Из (4) видно, что  $L_e$  логарифмически расходится при стремлении радиуса провода к нулю, поэтому идеализации бесконечно тонкого провода нельзя пользоваться при описании явлений самониндукции. Приближённые вычисления интеграла в (4) с учётом внутренней И. дают:

$$L \approx \frac{1}{2\pi} \mu_0 l \left( \mu_e \ln \frac{l}{a} + \frac{1}{4} \mu_i \right), \quad (5)$$

где  $l$  и  $a$  — длина и радиус провода. Это выражение обладает логарифмич. точностью — его относит. погреш-

Рис. 1. Круговой виток. Индуктивность витка (проводящего тора):  $L = \mu_0 R \times \left( \ln \frac{8R}{r} - 2 + \frac{1}{4} \mu_i \right)$ , Гн,  $r \ll R$ .



ность порядка величины  $1/\ln(l/a)$ . Примеры типичных электрич. цепей и выражения для их И. приведены на рис. 1 и 2.

Особое значение в электротехнике и радиотехнике имеют проволочные катушки с достаточною плотной на-

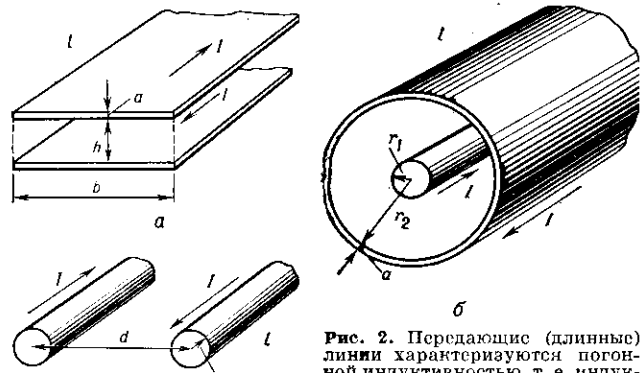


Рис. 2. Передающие (длинные) линии характеризуются погонной индуктивностью, т. е. индуктивность на единице длины:  $\tilde{L} = dL/dl$ : а — полосковая линия ( $a < h$ ):  $\tilde{L} = \mu_0 h/b$ , Гн·м<sup>-1</sup>; б — коаксиальный кабель ( $a < r_2$ ):  $\tilde{L} = \frac{\mu_0}{2\pi} \left( \ln \frac{r_2}{r_1} + \frac{1}{4} \mu_i \right)$ , Гн·м<sup>-1</sup>; в — двухпроводная линия:  $\tilde{L} = \frac{\mu_0}{\pi} \left( \ln \frac{d}{a} + \frac{1}{4} \mu_i \right)$ , Гн·м<sup>-1</sup>.

моткой — соленоиды (рис. 3), применяемые для увеличения И. Поскольку И. цепей, в к-рые включены соленоиды, ими в основном и определяются, принято говорить об И. соленоида. Под величиной И. идеального

соленоида понимают И. эф. проводящей поверхности (совпадающей с его каркасом), по к-рой протекают азимутальные поверхностные токи с плотностью  $j_{\text{пов}} = Ik$  ( $I$  — ток в соленоиде,  $k$  — число витков на единице длины).

Понятие И. допускает обобщение па быстропеременные гармонич.  $\exp(i\omega t)$ -процессы, при описании к-рых

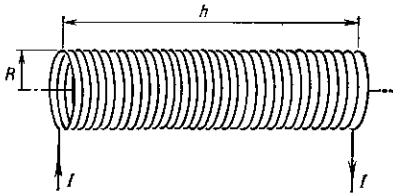


Рис. 3. Соленоид. Индуктивность длинного ( $h \gg R$ ) соленоида:  $L = \mu_0 V \left( 1 - \frac{8}{3\pi} \frac{R}{h} \right) k^2$ , Гн;  $V = \pi R^2 h$  — объём соленоида.

нельзя пренебречь запаздыванием эл.-магн. взаимодействий, скрин-эффектом в проводниках, дисперсией среды. Комплексные амплитуды тока  $I_\omega$  и эдс самониндукции  $\mathcal{E}_\omega$  связаны соотношением:

$$\mathcal{E}_\omega = [-i\omega L(\omega) - R_L(\omega)] I_\omega. \quad (6)$$

И.  $L(\omega)$  зависит от частоты (как правило, уменьшается с её ростом). Эфф. сопротивление  $R_L(\omega)$  определяет часть энергетич. потерь, в т. ч. потери на излучение, и связано с  $L(\omega)$  Крамерса — Кронига соотношением:

$$R_L(\omega) = \frac{\omega}{\pi} V \cdot p \int_{-\infty}^{\infty} \frac{L(\omega') d\omega'}{\omega - \omega'}, \quad (7)$$

где интеграл берётся в смысле гл. значения. На низких частотах сопротивлением  $R_L(\omega)$  можно пренебречь, тогда  $\mathcal{E}_\omega$  и  $I_\omega$  свинуты по фазе на  $\pi/2$ . Соотношение (3) для высокочастотных процессов преобразуется к виду:

$$W_\omega^m = \frac{1}{4} \frac{d}{d\omega} [\omega L(\omega)] \cdot |I_\omega|^2, \quad (8)$$

где  $W_\omega^m$  — усреднённая по периоду колебаний энергия близких (квазистационарных) магн. полей (полная магн. энергия поля не определена из-за линейно распушущей во времени энергии поля излучения).

Если в цепи действует гармонич. сторонняя эдс  $\mathcal{E}_{\text{ст}}(t) = \text{Re}[\mathcal{E}_0 \exp(i\omega t)]$ , то во втором законе Кирхгофа величина  $\mathcal{E}_\omega$  может быть перенесена (со сменой знака) в правую часть равенства:

$$\mathcal{E}_0 = \left[ i\omega L(\omega) + R - \frac{i}{\omega C} \right] I_\omega, \quad (9)$$

где  $C$  — ёмкость, включённая в цепь. Соотношение (9) позволяет трактовать величину  $Z_L = i\omega L$  как индуктивную часть импеданса цепи (при этом  $Z_C = -i/\omega C$  — ёмкостная, а  $Z_R = R$  — активная части полного импеданса  $Z = Z_L + Z_C + Z_R$ ). Принято считать, что импеданс двухполюсника имеет индуктивный характер, если его мнимая часть больше нуля [если рассматриваются  $\exp(-i\omega t)$ -процессы, то меньше нуля]. В технике довольно часто И. наз. любой двухполюсник, импеданс к-рого имеет индуктивный характер и в определ. диапазоне частот линейно зависит от  $\omega$ . Если индуктивные элементы выполнены в виде катушек самониндукции, то считать их двухполюсниками можно, вообщё говоря, только в том случае, когда взаимодействие через магн. поля между ними и с др. элементами цепи пренебрежимо мало. Тогда их импедансы можно складывать в соответствии с правилами Кирхгофа: при последовательном соединении  $Z_\Sigma = i\omega \sum_n L_n$ , а при параллельном  $Z_\Sigma = i\omega (\sum_n L_n^{-1})^{-1}$ .

При описании сильноточных цепей часто требуется обобщение понятия И. на случай нелинейных систем. Если неподвижный проводящий контур помешён в